

Variables Independientes

FIGURA 25 Tendencia del virus A27 Guajira/71 (S304) en la prueba de submultiplicación frente a los sueros hipertímicos de los subtipos A27, A18, A24 y A26

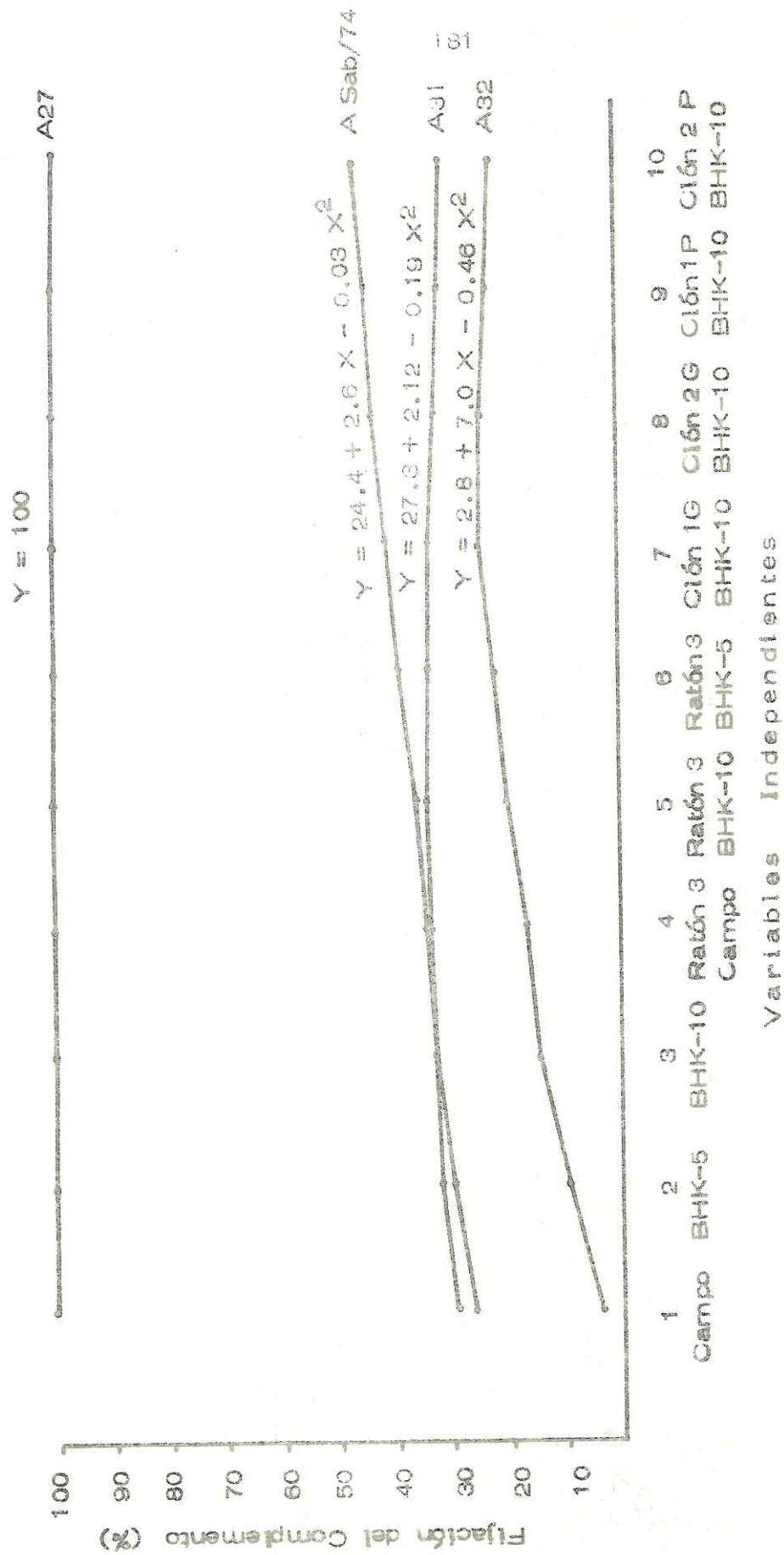


FIGURA 26 Tendencia del virus A27 Guajira/71 (A6304) en la prueba de subtipificación frente a los sueros hiperinmunes de los subtipos A27, A31, A32 y A Sab/74

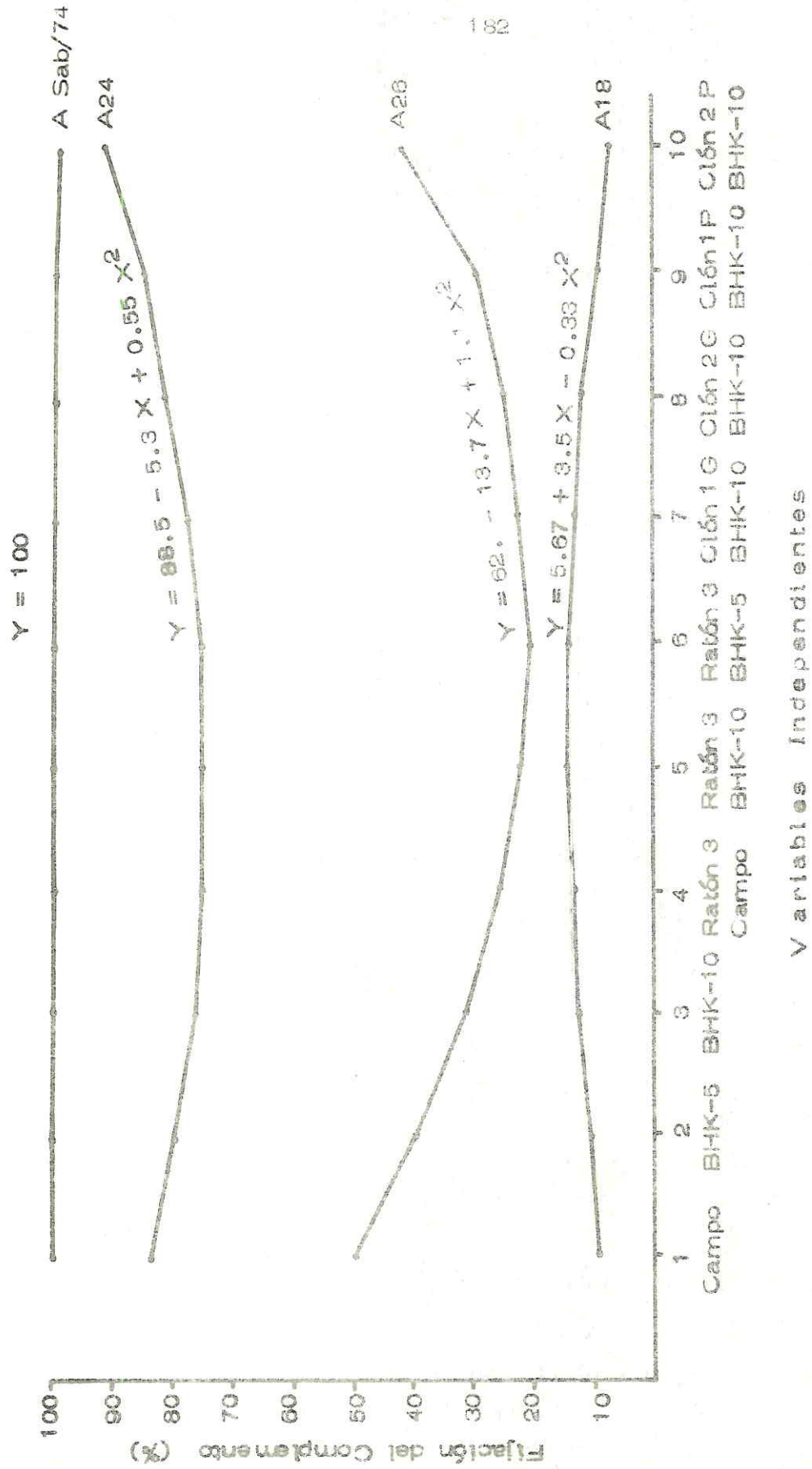


FIGURA 27 Tendencia del virus A Sabana/74 (7510) en la prueba de subtipificación frente a los sueros hiperinmunes de los subtipos A Sabana/74, A18, A24 y A26

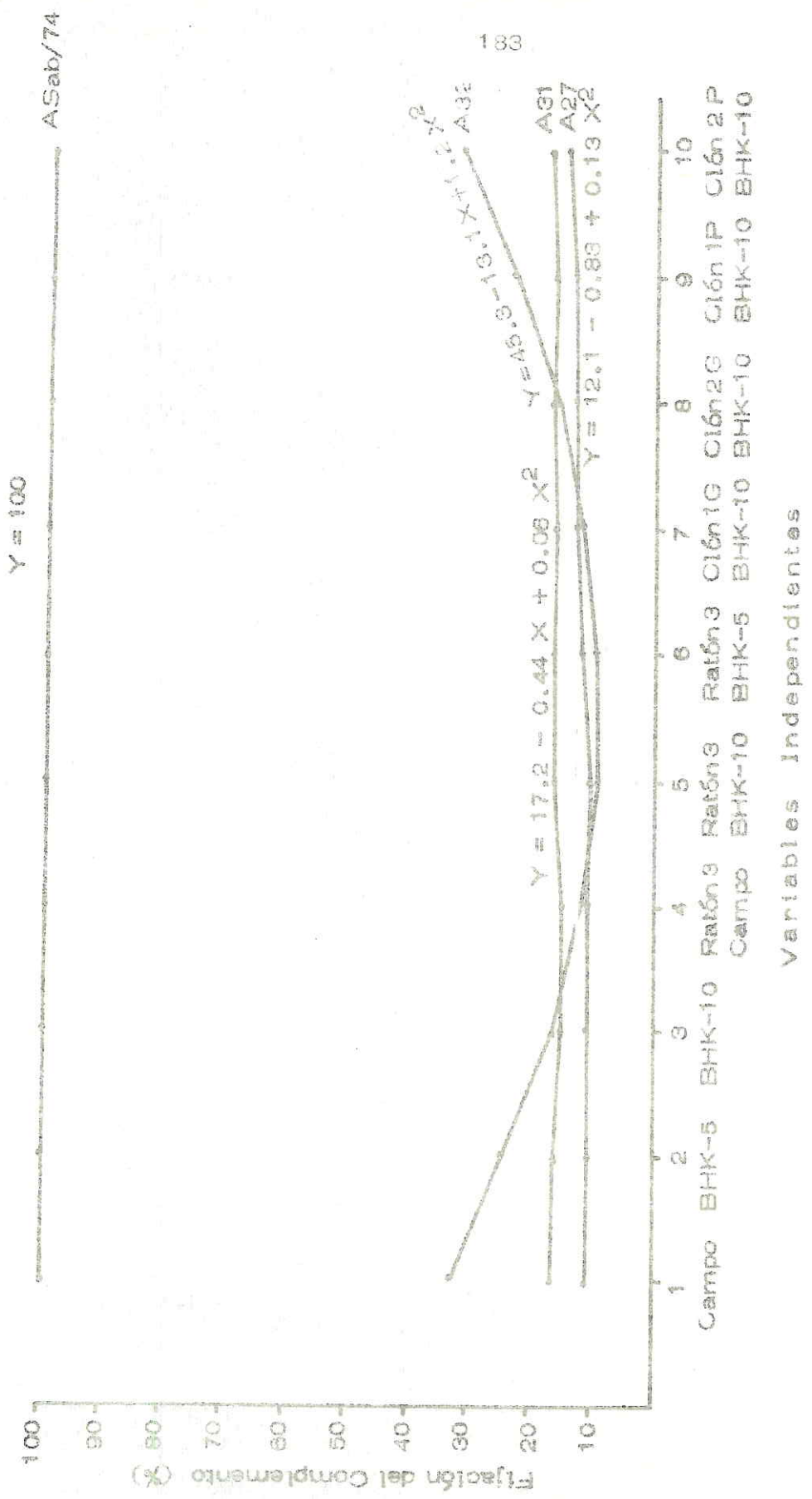


FIGURA 28 Tendencia del virus A Sabana/74 (7510) en la prueba de subtipificación frente a los sueros hiperinmunes de los subtipos A Sabana/74, A27, A31 y A32

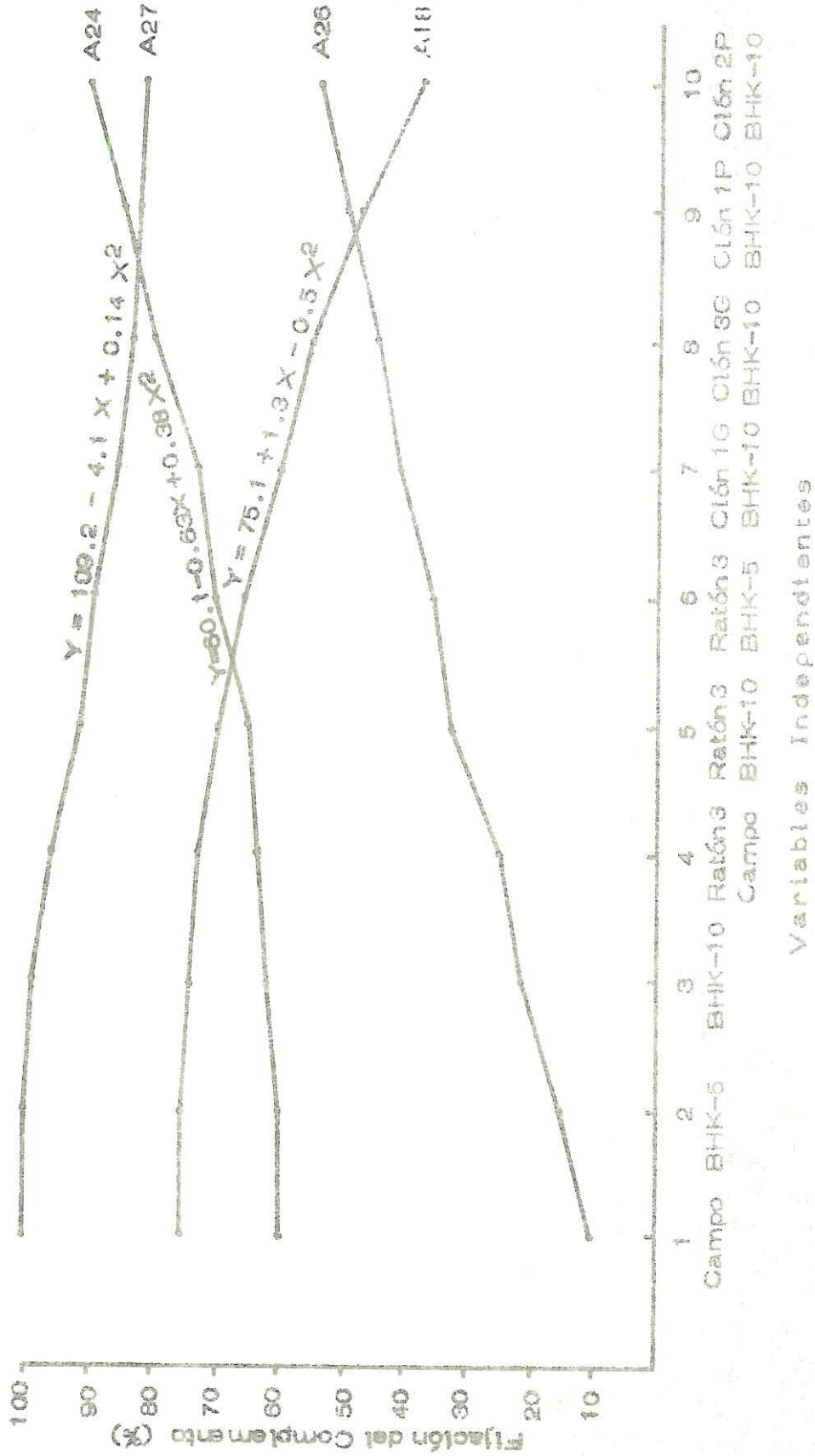
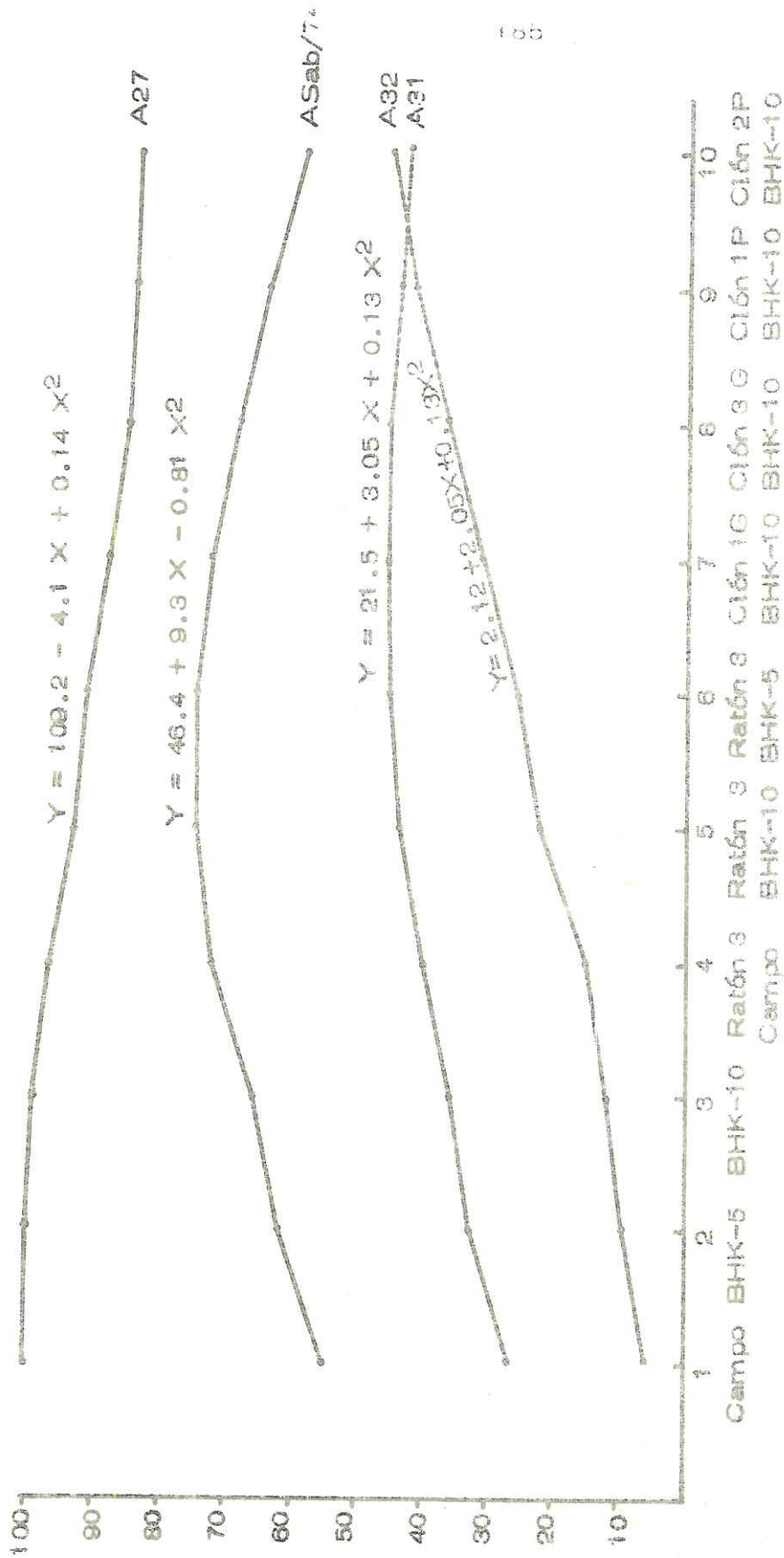
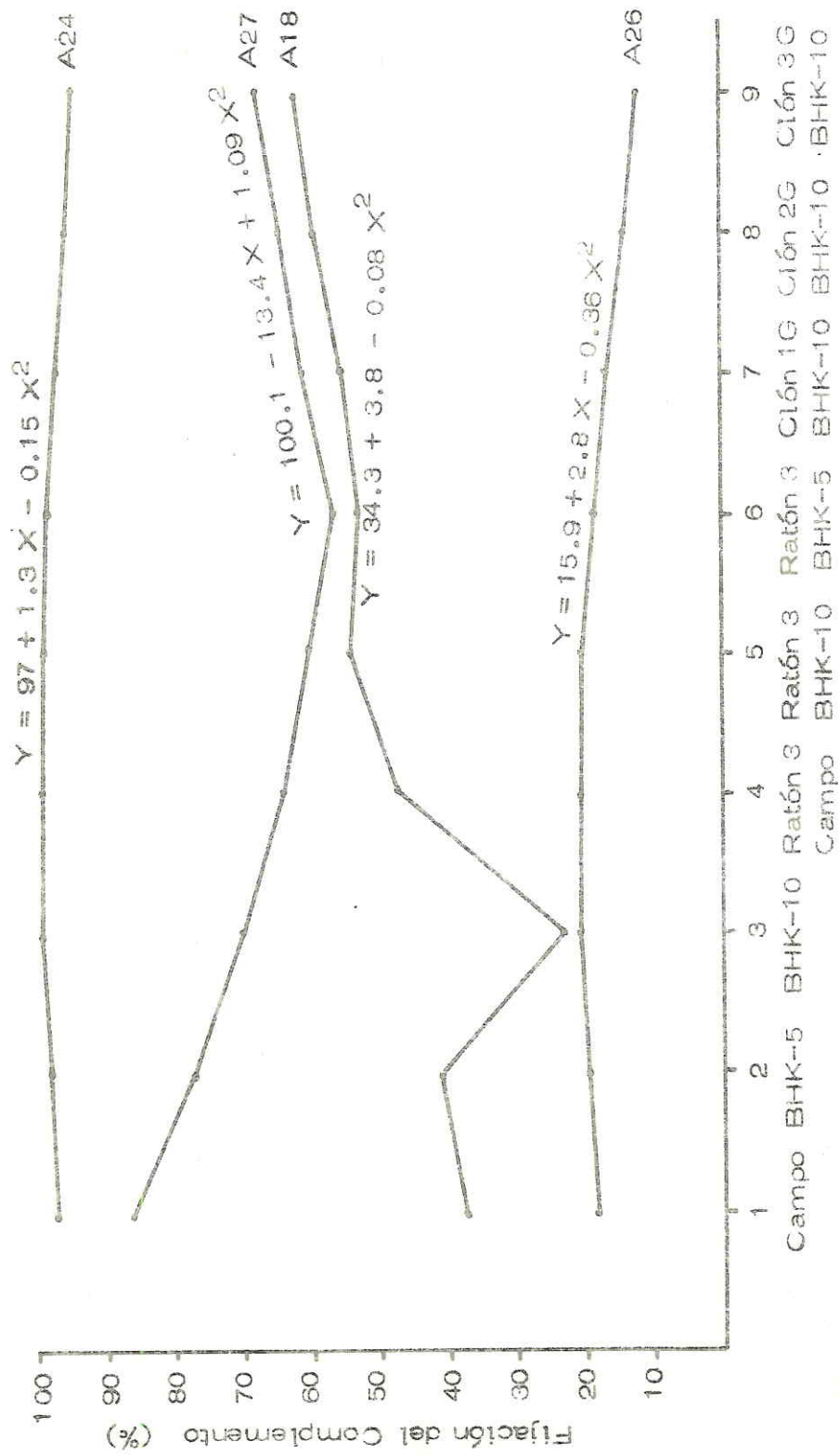


FIGURA 29 Tendencia del virus A27 Cundinamarca/75 (8046) en la prueba de subtipificación frente a los sueros hiperinmunes de los subtipos A27, A18, A24 y A26



Variables Independientes

FIGURA 30 Tendencia del virus A27 Cundinamarca/71 (9046) en la prueba de subtipificación frente a los sueros hiperinmunes de los subtipos A27, A31, A32 y A Sabana/74



Variables Independientes

FIGURA 31 Tendencia del virus A Antioquia/76 (8381) en la prueba de subtipificación frente a los sueros hiperinmunes de los subtipos A18, A24, A26 y A27

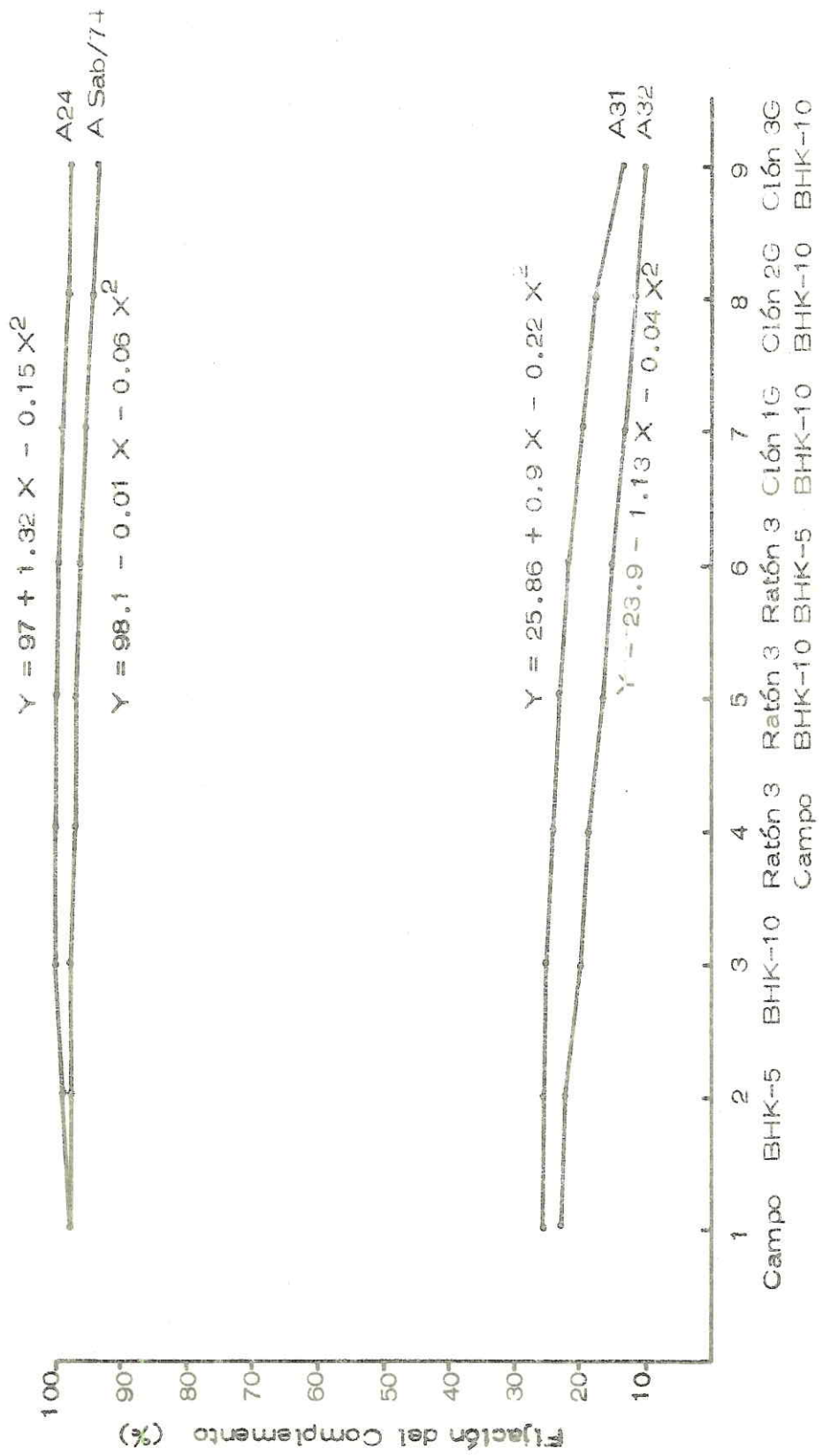
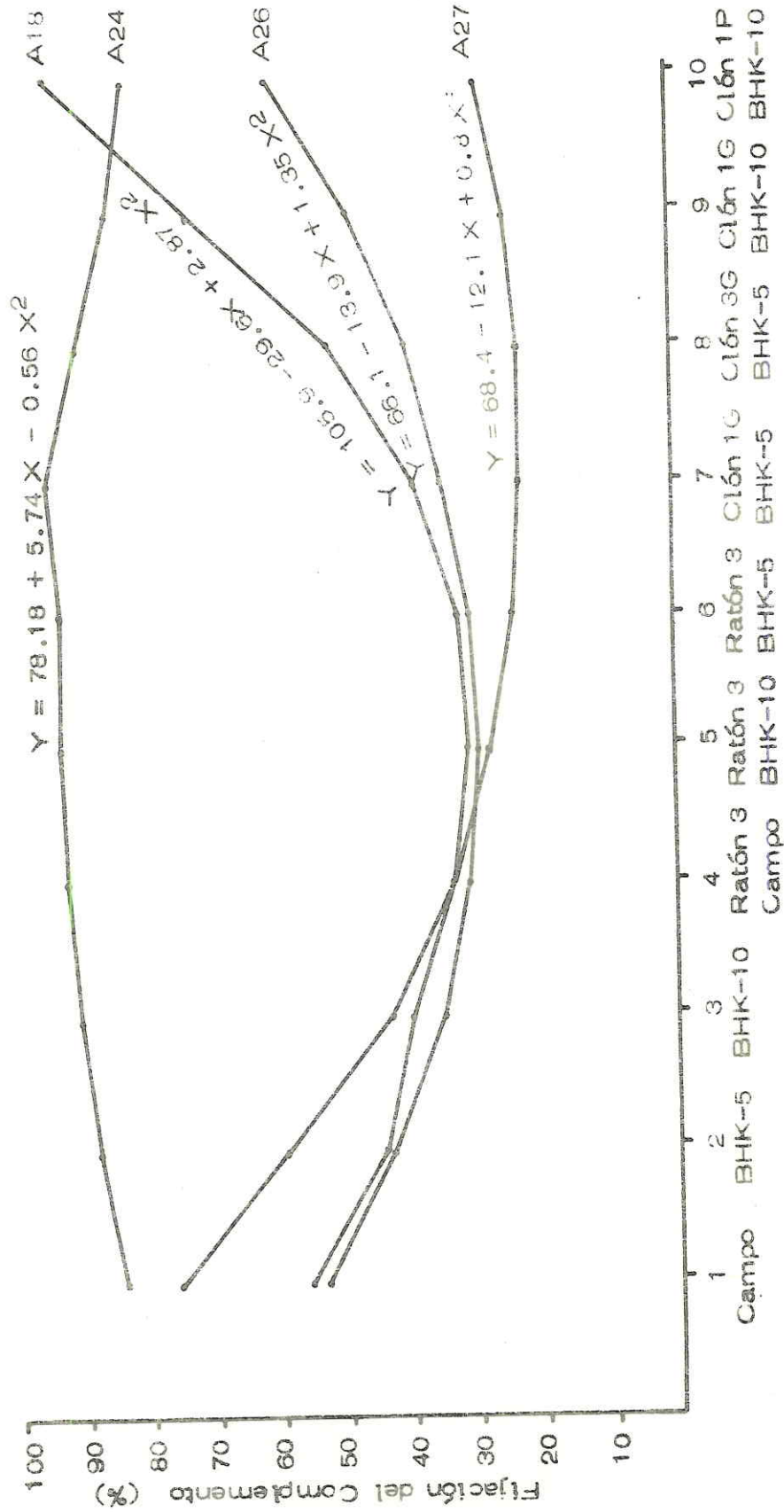


FIGURA 32 Tendencia del virus A Antioquia/76 (8981) en la prueba de subtipificación frente a los sueros hiperinmunes de los subtipos A24, A31, A32 y A Sabana/74



Variables Independientes

FIGURA 33 Tendencia del virus A Córdoba/76 (8480) en la prueba de subtipificación frente a los sueros hiperinmunes de los subtipos A18, A24, A26 y A27

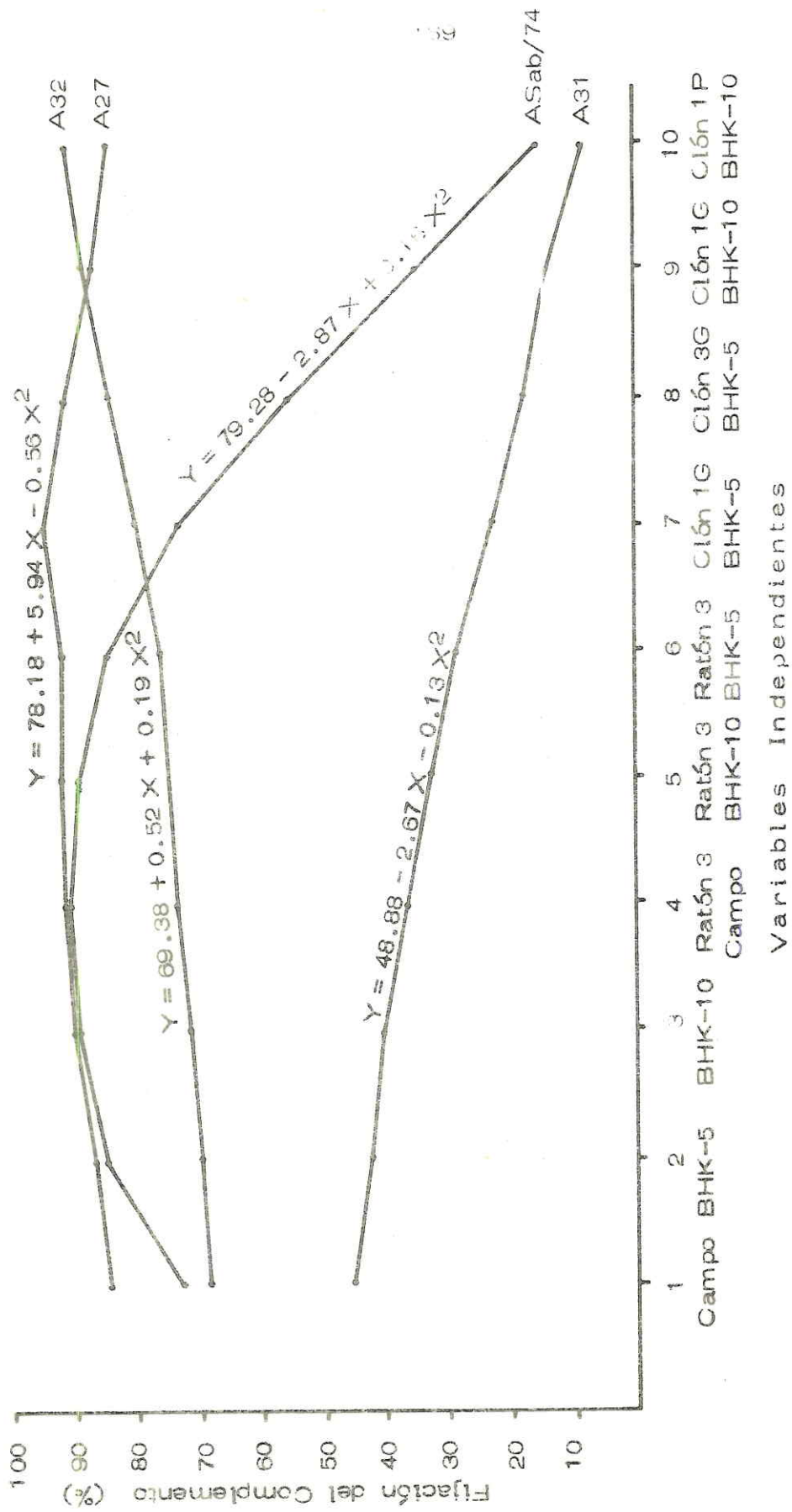


FIGURA 34 Tendencia del virus A Córdoba/76 (8480) en la prueba de subtipificación frente a los sueros hiperinmunes de los subtipos A24, A31, A32 y A Sabana/74